

УДК 681.322.02

АСИНХРОННАЯ КОМПОЗИЦИЯ ПАРАЛЛЕЛЬНЫХ МИКРОПРОГРАММ

С.В. Пискунов

Введение

В статье продолжается разработка приемов асинхронной композиции параллельных микропрограмм, начатая в [1], и используются введенные там понятия параллельного микропрограммирования.

Объектом преобразования в параллельном микропрограммировании служит клеточное множество W — конечная совокупность клеток, поименованных символами из алфавита M . В клетки вписаны символы из некоторого конечного алфавита состояний A . Элементарным преобразованием клеточного множества W является микрокоманда подстановки θ , имеющая левую и правую части ($\theta: S_1(m) \cdot S_2(m) \rightarrow S_3(m)$; S_1, S_2, S_3 называются конфигурациями, $m \in M$). Выполнение микрокоманды производится одновременно над всеми клетками множества W . Для каждой клетки из W (обозначим ее имя m^0) в соответствии с левой частью микрокоманды вычисляется множество клеток $S_1(m^0)$ и $S_2(m^0)$. Если полученное множество включено в W , его часть $S_1(m^0)$ заменяется множеством $S_3(m^0)$. Совокупность микрокоманд $\Phi = \{\theta_i: S_{i1}(m) \cdot S_{i2}(m) \rightarrow S_{i3}(m), i = 1, \dots, v\}$, записанных в произвольном порядке, называется микропрограммой. Выполнение всех микрокоманд микропрограммы производится одновременно над всеми клетками множества W . Один шаг выполнения называется итерацией. По каждой параллельной микропрограмме Φ и совокупности множеств W , каждое из которых имеет мощность не более заданной, может быть построена сеть автоматов, интерпретирующая Φ .

Операция композиции позволяет строить сложную микропрограмму из заданных более простых Φ_1, \dots, Φ_q . Эта операция записывается на языке параллельных граф-схем. В [1] был предложен вариант исло-

чения любой параллельной микропрограммы Φ в асинхронную композицию. Будем называть его далее переводом Φ в каноническую форму. Микропрограмма Φ перестраивается так, что она начинает взаимодействовать с другими микропрограммами по принципу "пуск-завершение". Для этого множество M расширяется: к нему добавляются имена m_1, m_2, m_3, m_4 , а в алфавите А выделяются символы a_0, a_1 . По микропрограмме $\Phi = \{\theta_i : S_{i1} * S_{i2} \rightarrow S_{i3}, i = 1, \dots, v\}$ строится микропрограмма

$$\Phi' = \begin{cases} \theta_i^R : \{(S_{i1})(a_0, m_2)\} * \{(S_{i2})(a_1, m_1)\} \rightarrow \\ \qquad \qquad \qquad \rightarrow \{(S_{i3})(a_1, m_2)\}, \quad i = 1, \dots, v; \\ \theta_{v+1} : \{(a_0, m_3)\} * \{(a_1, m_1)\} \rightarrow \{(a_1, m_3)\}; \\ \theta_{v+2} : \{(a_1, m_2)(a_1, m_3)\} * \{(a_1, m_1)\} \rightarrow \{(a_0, m_2)(a_0, m_3)\}; \\ \theta_{v+3} : \{(a_1, m_3)(a_0, m_4)(a_1, m_1)\} * \{(a_0, m_2)\} \rightarrow \\ \qquad \qquad \qquad \rightarrow \{(a_0, m_3)(a_1, m_4)(a_0, m_1)\}. \end{cases}$$

По сравнению с исходной Φ микропрограмма Φ' содержит на три микрокоманды больше, и, если микропрограммой Φ выполняется t итераций, то $\Phi' - 2t + 2$ итерации, т.е. "накладные расходы", практически при том же числе микрокоманд, сводятся к двукратному увеличению времени выполнения. Кроме того, можно убедиться на примерах, что при переходе от Φ к Φ' у сети, интерпретирующей Φ' , могут исчезнуть такие структурные свойства, как близкодействие [2] и ограниченность заданной величиной числа входов-выходов каждого из элементарных автоматов, составляющих сеть.

Поэтому представляется целесообразным разработать несколько вариантов канонических форм, позволяющих вырывать такими параметрами, как число микрокоманд в микропрограмме (программная сложность Q), число итераций (временная сложность T), и обеспечивающих, если необходимо, сохранность структуры сети исходной Φ .

I. Канонические формы параллельных микропрограмм с ограничениями на временную сложность

Удвоение числа итераций может быть устранено модификацией Φ' :

$$\Phi^k = \begin{cases} \theta_1^{\text{я}}, i = 1, \dots, v; \\ \theta_1^{\text{я}} : S_{i_1} * \{(S_{i_2})(a_{1,m_1})\} \rightarrow S_{i_3}, i = 1, \dots, v; \\ \theta_{v+1}; \\ \theta_{v+2}; \\ \theta_{v+3}; \end{cases}$$

Действительно, в этом случае последовательность итераций имеет вид:

Итерации	1	2	3	...	j	j+1	...	$\tau+1$	$\tau+2$	$\tau+3$
Имена микрокоманд	$\theta_1^{\text{я}}$		$\theta_1^{\text{я}}$		$\theta_1^{\text{я}}$					
	$\theta_1^{\text{я}}$	$\theta_1^{\text{я}}$	$\theta_1^{\text{я}}$...	$\theta_1^{\text{я}}$	$\theta_1^{\text{я}}$...	θ_{v+1}	θ_{v+3}	\emptyset
	θ_{v+1}	θ_{v+2}	θ_{v+1}		θ_{v+1}	θ_{v+2}				

Общее число итераций равно $\tau + 2$. "Накладные расходы" сводятся к двукратному увеличению числа микрокоманд.

Удваивая не все микрокоманды исходной Φ , а только некоторую их часть, можно построить целый спектр канонических форм с различными Q и T , занимающий весь промежуток между Φ' и Φ^k .

2. Канонические формы параллельных микропрограмм с ограничениями на тип используемых конфигураций

В этом разделе пойдет речь о канонических формах, сохраняющих структуру сети для Φ . Введем классификацию конфигураций, отражающую структурные свойства сети автоматов. Определим отношение соседства на клетках множества W для любой конфигурации S с имеющими функциями $\pi, \varphi_2(\pi), \dots, \varphi_k(\pi)$. Возьмем любую клетку из W , пусть ее имя π^0 . Клетки с именами $\varphi_2(\pi^0), \dots, \varphi_k(\pi^0)$ являются соседями π^0 . Отношение соседства будем изображать графически, связывая ребрами клетку π^0 с соседями. Будем называть окрестью любой клетки из W множество смежных с ней клеток. Клеточное множество W вместе с графическим изображением отношения соседства будем называть сетью клеток W .

Очевидно, окрестность клетки π^0 взаимно-однозначно соответствует множеству автоматов, с которыми автомат π^0 сети имеет ин-

формационные связи в соответствии с именующими функциями конфигурации S .

Конфигурация S называется глобальной, если для любого целого положительного n найдется W , в котором есть хотя бы одна клетка, окрестность которой, построенная по S , содержит больше n клеток.

Наличие хотя бы одной глобальной конфигурации в записи параллельной микропрограммы означает, что интерпретирующая ее сеть содержит автоматы, у которых число связей с другими автоматами растет с ростом числа автоматов в сети.

Конфигурация S , не являющаяся глобальной, называется ограниченной.

Если все конфигурации в записи параллельной микропрограммы ограничены, то в сети, независимо от числа клеток в W , каждый автомат имеет число связей, не превосходящее некоторое фиксированное число.

При реальном построении сети, интерпретирующей параллельную микропрограмму, нельзя не учитывать, что составляющие ее конечные автоматы превращаются в устройства и имеют определенные геометрические размеры. Это означает, что даже при использовании ограниченных конфигураций в записи микропрограммы длина информационных связей, соединяющих автоматы, может расти с ростом мощности W . В связи с этим для тех случаев, когда клеточное множество может быть представлено точками в некотором метрическом пространстве, представляют интерес говорить о локальных конфигурациях.

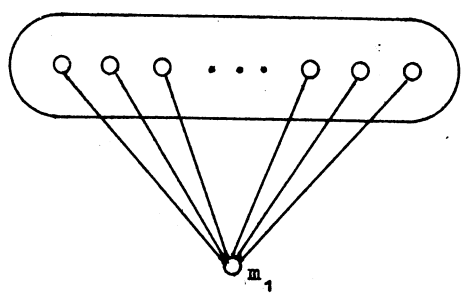


Рис. I

Конфигурация S называется локальной, если для любого W найдется шар с фиксированным радиусом R , содержащий окрестность любой клетки из W .

Операция "пуск-завершение", которая фактически вводится в Φ при переходе к канонической форме, по своей сути является глобальной: сигнал "пуск" (переход клетки m_1 в состояние

a_1) дает разрешение выполнятся всем микрокомандам во всех клетках множества W , а "завершение" (переход клетки m_4 в состояние a_1) фиксирует, что ни одна микрокоманда неприменима ни к одной клетке W . Это приводит к появлению глобальных конфигураций в каноническом представлении. Действительно, если хотя бы одна конфигурация, использованная в записи микрокоманд микро-программы Φ , содержит бесконечное множество элементов, то с клеткой m_1 (m_2) смежны все клетки множества W (рис.1).

Приемы построения канонических форм, сохраняющих тип конфигураций, используемых в Φ , основаны:

а) в случае ограниченных конфигураций на переходе от сети клеток, представленной деревом (рис.1), к сети клеток, представленной деревом с заданной степенью вершин (рис.2);

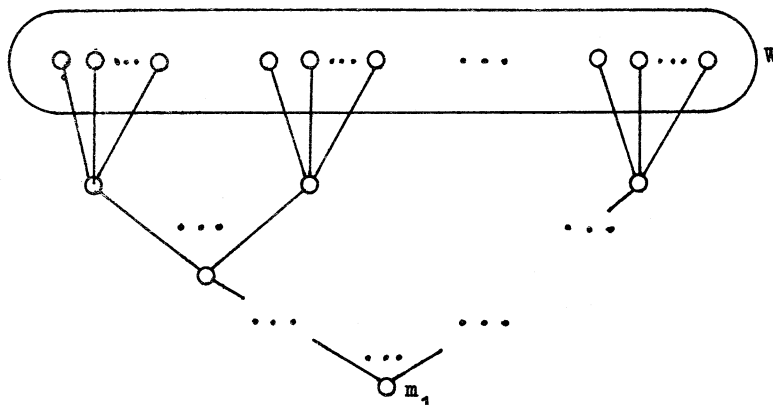


Рис.2

б) в случае локальных конфигураций на вводе вспомогательного клеточного множества, изоморфного W , с выделенной в нем пусковой клеткой (связанной с m_1 (m_2)), и осуществлении синхронизации состояний клеток вспомогательного множества по типу синхронизации цепи стрелков [3] с целью пуска (останова) микропрограммы.

I. Асинхронная композиция с использованием ограниченных конфигураций. С практической точки зрения наиболее интересен случай построения бинарных деревьев, потому что для них проведены иссле-

дования по оптимальной укладке на плоскости [4,5], что позволяет использовать их при реальном построении сетей автоматов в виде БИС, кроме того, для таких деревьев более простым получается каноническое представление.

Обозначим буквой μ число клеток в W , буквой d - минимальную степень двойки, большую μ , буквой \tilde{d} - число $(d-1)$. Из множества вспомогательных клеток $\pi_1, \pi_2, \pi_3, \pi_4$ исключим клетку π_2 , добавим клетку π_Φ и два множества клеток: одно с именами $\{(\pi_1, m)\}$, другое с именами $\{(\pi_2, m)\}$, где $1 \leq m \leq \tilde{d}$. Клетки обоих множеств имеют состояния из множества $\{a_0, a_1, a_2\}$.

Если в записи конфигураций микрокоманд, преобразующих состояния клеток $\{(\pi_1, m)\}$, используются именующие функции (π_1, m) , $(\pi_1, 2m)$, $(\pi_1, 2m+1)$, то сеть клеток с именами $\{(\pi_1, m)\}$ является бинарным деревом. В качестве корневой клетки выбирается клетка с именем $(\pi_1, 1)$, на втором ярусе - клетки с именами $(\pi_1, 2), (\pi_1, 3)$, на p -м ярусе - клетки с именами $(\pi_1, 2^{p-1}), (\pi_1, 2^{p-1}+1), \dots$. Последний ярус заполняют клетки с именами $(\pi_1, d), (\pi_1, d+1), \dots, (\pi_1, d+\mu-1)$. Все клетки дерева, не лежащие на каком-то пути от корня дерева к вершине последнего яруса, отбрасываются.

Обозначим буквой Ψ_1 взаимно-однозначное соответствие имени каждой клетки последнего яруса и имени клетки множества W .

ПРИМЕР. Пусть имена клеток в W - числа 1, 2, ..., μ ; Ψ_1 может быть задана выражением $\pi \leftrightarrow (\pi_1, \pi+d)$.

Аналогично можно построить дерево для клеток с именами $\{(\pi_2, m)\}$ и выбрать Ψ_2 .

На рис.3 изображена сеть клеток W (с числом клеток равным 20), вспомогательные клетки и ребра, за исключением ребер, порожденных конфигурациями исходного алгоритма.

Построение канонического представления алгоритма Φ (обозначим Φ^0) проведем для клеточных множеств такого вида, как на рис.3. В исходном состоянии все вспомогательные клетки, кроме клеток с именами π_1 и π_Φ , находятся в состоянии a_0 . Клетки π_1 и π_Φ находятся в состоянии a_1 . В качестве прототипа для Φ^0 выберем Φ^* , полученную в п.1 и имеющую наименьшую временную сложность. В общих чертах Φ^0 работает следующим образом. Сигнал "пуск" (клетка π_1 в состоянии a_1) вводит клетку $(\pi_1, 1)$, переводя ее в состояние a_1 , распространяется ко всем клеткам последнего яруса $\{(\pi_1, \pi+d)\}$ и включает в работу $\theta_i^{\text{я}}$ и $\theta_i^{\text{в}}, i=1, \dots, v$. При этом клетка $(\pi_1, 1)$ переходит в состояние a_0 , а клетка π_1 -

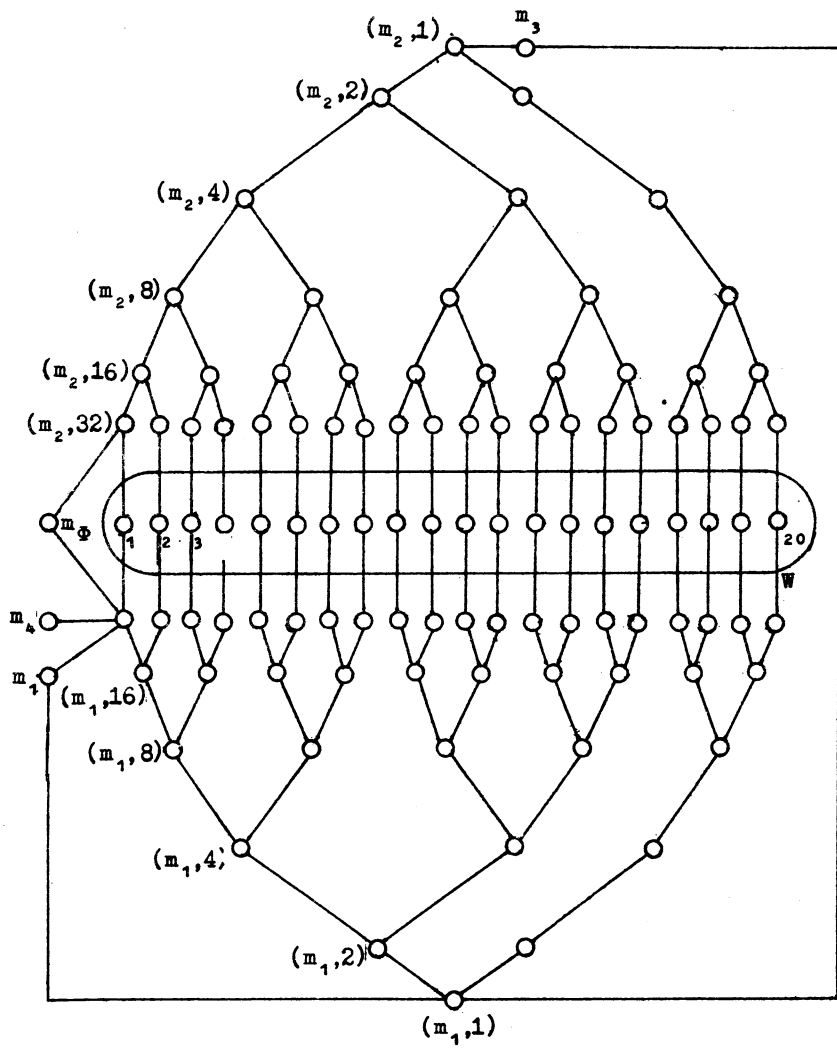


Рис.3. Сеть клеток.

в состояние a_2 . Признаки применимости по дереву, построенному на клетках с именами $\{(m_2, m)\}$, конвейерно поступают в клетку m_3 . Как только поступление признака применимости прекращается, клетка m_3 переводит клетку $(m_1, 1)$ в состояние a_1 . Это состояние распространяется ко всем клеткам предпоследнего яруса клеток с именами $\{(m_1, m)\}$, при этом m_1 переходит в состояние a_0 , $m_4 -$ в состояние a_1 (сигнал "завершение"), клетки яруса $\{(m_1, m+d)\}$ в состояние a_0 и алгоритм Φ^0 останавливается.

Выпишем систему подстановок:

$$\theta_i^R: \{(S_{11}(m))(a_0, (m_2, m+d))\} * \{(S_{12}(m))(a_1, (m_1, m+d))\} \rightarrow \{(S_{13}(m))(a_1, (m_2, m+d))\}, \quad i = 1, \dots, v;$$

$$\theta_i^{R'}: S_{11}(m) * \{(S_{12}(m))(a_1, (m_1, m+d))\} \rightarrow S_{13}(m), \quad i = 1, \dots, v;$$

$$\theta_{2v+1}: \{(a_1, m_2)(a_0, (m_2, 1+d))\} * \{(a_1, (m_1, 1+d))\} \rightarrow \{(a_0, m_2)(a_1, (m_2, 1+d))\};$$

$$\theta_{2v+2}: \{(a_1, m_1)(a_0, (m_1, 1))\} * \rightarrow \{(a_2, m_1)(a_1, (m_1, 1))\};$$

$$\theta_{2v+3}: \{(a_1, (m_1, m))(a_0, (m_1, 2m))\} * \rightarrow \{(a_0, (m_1, m))(a_1, (m_1, 2m))\};$$

$$\theta_{2v+4}: \{(a_1, (m_1, m))(a_0, (m_1, 2m+1))\} * \rightarrow \{(a_0, (m_1, m))(a_1, (m_1, 2m+1))\};$$

$$\theta_{2v+5}: \{(a_0, (m_2, m))(a_1, (m_2, 2m))\} * \rightarrow \{(a_1, (m_2, m))(a_0, (m_2, 2m))\};$$

$$\theta_{2v+6}: \{(a_0, (m_2, m))(a_1, (m_2, 2m+1))\} * \rightarrow \{(a_1, (m_2, m))(a_0, (m_2, 2m+1))\};$$

$$\theta_{2v+7}: \{(a_0, m_3)(a_1, (m_2, 1))\} * \rightarrow \{(a_1, m_3)(a_0, (m_2, 1))\};$$

$$\theta_{2v+8}: \{(a_1, m_3)\} * \rightarrow \{(a_2, m_3)\};$$

$$\theta_{2v+9}: \{(a_2, m_3)(a_1, (m_2, 1))\} * \rightarrow \{(a_1, m_3)(a_0, (m_2, 1))\};$$

$$\theta_{2v+10}: \{(a_2, m_3)(a_0, (m_1, 1))\} * \{(a_0, (m_2, 1))\} \rightarrow \{(a_0, m_3)(a_1, (m_1, 1))\};$$

$$\theta_{2v+11}: \{(a_1, (m_1, m))(a_1, (m_1, 2m))\} * \rightarrow \{(a_0, (m_1, m))(a_2, (m_1, 2m))\};$$

$$\theta_{2v+12}: \{(a_1, (m_1, m))(a_1, (m_1, 2m+1))\} * \rightarrow \{(a_0, (m_1, m))(a_2, (m_1, 2m+1))\};$$

$$\theta_{2v+13}: \{(a_0, m_2)\} * \{(a_2, (m_1, 1+d))\} \rightarrow \{(a_1, m_2)\};$$

$$\theta_{2v+14}: \{(a_0, m_4)(a_2, m_1)\} * \{(a_2, (m_1, 1+d))\} \rightarrow \{(a_1, m_4)(a_0, m_1)\};$$

$$\theta_{2v+15}: \{(a_2, (m_1, m))\} * \rightarrow \{(a_0, (m_1, m))\}.$$

Непосредственная проверка показывает, что эта система задает искомую каноническую форму Φ^0 .

ЗАМЕЧАНИЕ 1. Пусть число итераций при переработке микропрограммой Φ клеточного множества W равно τ , числа ярусов в бинарном дереве равно h ($h = \lceil \log_2 |W| \rceil$). Детальное построение последовательности итераций (мы его здесь не приводим) позволяет заключить, что при применении Φ^0 к W число итераций T равно $\tau + 3h + 3$.

ЗАМЕЧАНИЕ 2. При переходе от бинарного дерева к 1-арному можно уменьшить h , а значит, и T . Для этого достаточно микрокоманды, использующие в записи конфигураций именующие функции m , $2m$, $2m+1$, заменить микрокомандами, использующими функции m , $1(m-1)+2$, $1(m-1)+3, \dots, 1m$, $1m+1$. При этом общее число микрокоманд в микропрограмме Φ^0 возрастает.

2. Асинхронная композиция с использованием локальных конфигураций. Построение композиции проведем для типичного случая (если иметь в виду последующую реализацию сети автоматов в виде БИС), когда имена клеток можно интерпретировать как координаты узлов целочисленной решетки на плоскости; выберем M , равным $N \times N$. Введем на плоскости координаты x, y . Тогда W — это некоторое конечное множество узлов на плоскости (x, y) . В качестве основы для построения канонической формы микропрограммы Φ (обозначим Φ^Λ) с использованием только локальных конфигураций выберем Φ^k . Введем ось координат v , перпендикулярную плоскости (x, y) . Будем считать, что исходное W имеет вид прямоугольника. Все дополнительные клеточные множества и отдельные клетки будем располагать в плоскостях, параллельных (x, y) , вдоль v . Клетки с одинаковыми x , y будем располагать одна под другой. Введем вспомогательные клетки w_1, w_2, w_3, w_4, w_B и вспомогательные клеточные множества W_1, W_2, W_C, W_Z, W_4 , изоморфные W . Вдоль оси v они отстоят друг от друга на единицу и упорядочены следующим образом: $W, W_1, W_C, w_B, W_Z, W_2, W_4, w_1, w_2, w_3, w_4$. В основном состоянии вспомогательных клеток обозначаются символами a_0, a_1, a_2 , дополнительные обозначения вводятся по ходу изложения. В исходном состоянии клетка w_1 находится в состоянии a_1 , все остальные вспомогательные клетки в состоянии a_0 . Введем именующие функции:

$$\psi_1(x, y) = (w_1, x, y),$$

$$\psi_2(x, y) = (w_2, x, y);$$

вместо θ_i^A и $\theta_i'^A$, $i = 1, \dots, v$, запишем:

$$\tilde{\theta}_i^A : ((S_{i_1}(x,y))(a_0, (m_2, x, y))) * ((S_{i_2}(x,y))(a_1, (m_1, x, y))) \rightarrow \\ \rightarrow \{S_{i_3}(x,y))(a_1, (m_2, x, y))\}, \quad i = 1, \dots, v;$$

$$\tilde{\theta}_i^A : S_{i_1}(x,y) * \{(S_{i_2}(x,y))(a_1, (m_1, x, y))\} \rightarrow \\ \rightarrow S_{i_3}(x,y), \quad i = 1, \dots, v;$$

Эти две группы микрокоманд содержат только локальные конфигурации, если исходная Φ содержала локальные конфигурации. Объединение $\tilde{\theta}_i^A$ и $\tilde{\theta}_i'^A$, $i = 1, \dots, v$, образует ядро микропрограммы Φ^A . Обозначим его Φ_s^A . Кроме ядра, Φ^A содержит еще две части: Φ_s^A — микропрограмму синхронизации и Φ_z^A — микропрограмму зондирования.

Для обеспечения одинаковой работы Φ^A и Φ необходимо, чтобы взаимодействие частей Φ^A происходило по следующей схеме.

Клетка m_1 в состоянии I ("пуск") запускает микропрограмму Φ_s^A . Микропрограмма Φ_s^A использует клеточные множества W_c и W_1 и на некоторой итерации переводит сразу все клетки W_1 в состояние a_1 . Это запускает в работу ядро Φ_z^A . Для индикации применимости подстановок ядра служат клетки множества W_2 . Микропрограмма Φ_z^A , включаемая на той же итерации, что и Φ_s^A , использует множества W_z , W_c и осуществляет конвейерный просмотр клеток множества W_2 . Если хотя бы одна клетка из W_2 оказывается в состоянии a_1 , ее состояние заменяется на a_0 ; состояние клетки $(m_z, 1, 1)$ остается неизменным. Если при очередном просмотре все клетки из W_2 оказываются в состоянии a_0 (исходная Φ неприменима), клетка $(m_z, 1, 1)$ переходит в состояние a_1 . Это служит сигналом для повторного включения Φ_s^A , которая переводит на некоторой итерации сразу все клетки W_1 в состояние a_0 . Это в свою очередь служит сигналом для перевода клетки m_4 в состояние a_1 ("ответ"), клеток m_3, m_2, m_1 в состояние a_0 . Все описанные взаимодействия частей Φ^A осуществляются с помощью m_3, m_2 .

Проведем детальное построение микропрограммы Φ^A , оценим ее сложность и число итераций, затраченное на исполнение.

Ядро содержит $2v$ микрокоманд и выполняется t итераций. Микропрограмма Φ_s^A с локальными конфигурациями легко строится на основе алгоритмов синхронизации в сети автоматов с локальными связями [3,6]. Покажем это. В качестве пусковой клетки выберем клетку

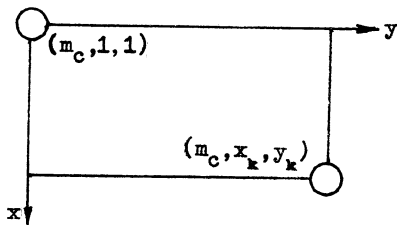


Рис.4

($m_c, 1, 1$) множества W_c (см. рис.4). Если двигаться из этой клетки вдоль границы прямоугольника в двух направлениях: 1) параллельно оси x вниз и параллельно оси y вправо, 2) параллельно оси y вправо и параллельно оси x вниз, мы придем в одну и ту же клетку (m_c, x_k, y_k).

Фигуры на плоскости с таким свойством в [6] названы фигурами с фиксированной ориентацией. Все дальнейшие построения справедливы не только для клеточных множеств, имеющих вид прямоугольников, но и для клеточных множеств, являющихся любыми фигурами с фиксированной ориентацией. Если исходное W не является фигурой с фиксированной ориентацией, его всегда можно заменить минимальным по мощности клеточным множеством W' , содержащим W и являющимся фигурой с фиксированной ориентацией (рис.5, ● - клетки исходного W , ○ - дополнительные клетки, принадлежащие W'), и все вспомогательные множества выбрать изоморфными W' . Штриховые линии на этой фигуре будем называть фронтами, их общее число обозначим f . В [6] показано, что если сеть автоматов образует фигуру с фиксированной ориентацией и каждый автомат имеет четырех соседей таких, как на рис.6, то синхронизация сети выполняется за $(2f-2)$ такта. Постро-

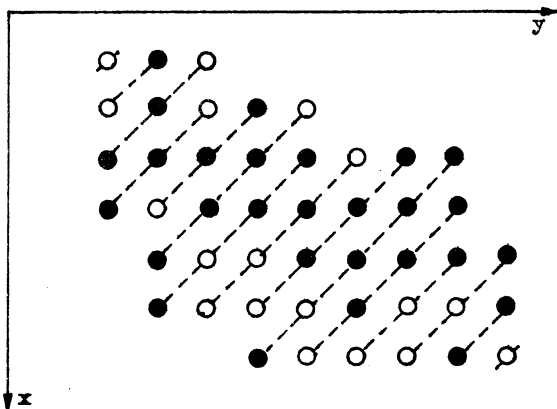


Рис.5

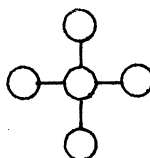


Рис.6

им микропрограмму, выполняющую синхронизацию W_c за $(2f-2)$ итерации. Построение начнем с одномерного случая. Каждому правилу смены состояний автомата, имеющему вид [3, с.97]:

$i-1$	i	$i+1$
α	β	γ
δ		

сопоставим микрокоманду $\{(\beta, i)\} * \{(\alpha, i-1)(\gamma, i+1) \rightarrow \{(\delta, i)\}$. Чтобы перейти к двумерному случаю, достаточно каждую такую микрокоманду заменить двумя:

$$\{(\beta, (m_c, x, y))\} * \{(\alpha, (m_c, x, y-1))(\gamma, (m_c, x, y+1)) \rightarrow \{(\delta, (m_c, x, y))\};$$

$$\{(\beta, (m_c, x, y))\} * \{(\alpha, (m_c, x-1, y))(\gamma, (m_c, x+1, y)) \rightarrow \{(\delta, (m_c, x, y))\}.$$

Такая процедура продлевается для всех правил смены состояний, кроме последнего. К полученному списку микрокоманд добавляются микрокоманды

$$\{(a_0, m_3)(a_0, (m_c, 1, 1))\} * \{(a_1, m_1)\} \rightarrow \{(a_1, m_3)(R, (m_c, 1, 1))\};$$

$$\{(F, (m_c, x, y))(a_0, (m_1, x, y))\} * \rightarrow \{(a_0, (m_c, x, y))(a_0, (m_1, x, y))\};$$

$$\{(F, (m_c, x, y))(a_1, (m_1, x, y))\} * \rightarrow \{(a_0, (m_c, x, y))(a_0, (m_1, x, y))\};$$

$$\{(a_1, m_1)(a_1, m_2)(a_1, m_3)(a_0, m_4)\} * \{(a_0, (m_1, 1, 1))\} \rightarrow$$

$$\rightarrow \{(a_0, m_1)(a_0, m_2)(a_0, m_3)(a_1, m_4)\}.$$

Обозначения состояний клеток взяты из [3, с.96].

Если обозначить мощность множества правил смены состояний автомата буквой w , то общее число микрокоманд в Φ_z^A равно $2w + 3$.

Прежде чем построить Φ_z^A , более детально определим выполняемые ею действия. Они таковы.

1. Порождение фронта в клетке с именем (m_z, x_k, y_k) с периодичностью, зависящей от максимального размера окрестности клетки в W . Фронт в данном случае образуют клетки множества W_z , находящиеся в одном и том же состоянии, отличном от a_0 , и расположенные вдоль штриховой линии.

2. Движение фронта.

3. Трансформация фронта, состоящего из клеток в состоянии a_1 , во фронт, состоящий из клеток в состоянии a_2 , при встрече с признаком применимости (клеткой из W_2 , находящейся в состоянии a_1).

4. Регистрация неприменимости микрокоманд из Φ_A^A , осуществляемая при помощи перевода клетки $(m_2, 1, 1)$ в состояние a_1 , при переходе фронта, состоящего из клеток в состоянии a_1 .

Прежде чем перейти к построению микрокоманд, порождающих фронт, отметим следующее. Так как все конфигурации, используемые в записи Φ локальны, существуют такие l_1, l_2, l_3, l_4 ($l_i \geq 0$), что окрестность любой клетки множества W содержится в прямоугольнике со сторонами $(x+l_2) - (x-l_1)$, $(y+l_4) - (y-l_3)$. Обозначим $r = (l_2 + l_4) + 1$. Чтобы какой-то фронт не "проскочил" признак применимости, необходимо чтобы между порождением очередных фронтов была задержка, равная r итерациям. Ниже выписаны микрокоманды, порождающие фронт:

$$\begin{aligned} & \{(a_0, (m_z, x_k, y_k)) (a_0, m_B)\} * \{(a_1, (m_1, x_k, y_k))\} \rightarrow \\ & \quad \rightarrow \{(a_1, (m_z, x_k, y_k)) (a_1, m_B)\}; \\ & \{(a_1, m_B)\} * \{(a_1, (m_1, x_k, y_k))\} \rightarrow \{(a_{i+1}, m_B)\}, \\ & \quad i = 1, \dots, r-1; \\ & \{(a_r, m_B)\} * \{(a_1, (m_1, x_k, y_k))\} \rightarrow \{(a_0, m_B)\}. \end{aligned}$$

Выпишем микрокоманды, выполняющие действия 2-4, при этом совокупность микрокоманд разделим на группы, связанные общим назначением.

Движение фронта:

$$\begin{aligned} g_1: & \{(a_1, (m_z, x, y)) (a_0, (m_z, x-1, y))\} * \{(a_0, (m_4, x, y)) (a_0, (m_2, x, y))\} \rightarrow \\ & \quad \rightarrow \{(a_0, (m_z, x, y)) (a_1, (m_z, x-1, y))\}; \\ g_2: & \{(a_1, (m_z, x, y)) (a_0, (m_z, x, y-1))\} * \{(a_0, (m_4, x, y)) (a_0, (m_2, x, y))\} \rightarrow \\ & \quad \rightarrow \{(a_0, (m_z, x, y)) (a_1, (m_z, x, y-1))\}. \end{aligned}$$

Встреча фронта с признаком применимости:

$$\begin{aligned} g_3: & \{(a_1, (m_z, x, y)) (a_0, (m_z, x-1, y)) (a_1, (m_2, x, y))\} * \{(a_1, (m_4, x, y))\} \rightarrow \\ & \quad \rightarrow \{(a_0, (m_z, x, y)) (a_2, (m_z, x-1, y)) (a_0, (m_2, x, y))\}; \\ g_4: & \{(a_1, (m_z, x, y)) (a_0, (m_z, x, y-1)) (a_1, (m_2, x, y))\} * \{(a_1, (m_4, x, y))\} \rightarrow \\ & \quad \rightarrow \{(a_0, (m_z, x, y)) (a_2, (m_z, x, y-1)) (a_0, (m_2, x, y))\}. \end{aligned}$$

Движение фронта:

- $$g_5 : \{(a_2, (m_z, x, y)) (a_0, (m_z, x-1, y))\} * \{(a_1, (m_4, x, y)) (a_0, (m_2, x, y))\} \rightarrow \{(a_0, (m_z, x, y)) (a_2, (m_z, x-1, y))\};$$
- $$g_6 : \{(a_2, (m_z, x, y)) (a_0, (m_z, x, y-1))\} * \{(a_1, (m_4, x, y)) (a_0, (m_2, x, y))\} \rightarrow \{(a_0, (m_z, x, y)) (a_2, (m_z, x, y-1))\};$$
- $$g_7 : \{(a_2, (m_z, x, y)) (a_0, (m_z, x-1, y)) (a_1, (m_2, x, y))\} * \{(a_1, (m_4, x, y))\} \rightarrow \{(a_0, (m_z, x, y)) (a_2, (m_z, x-1, y)) (a_0, (m_2, x, y))\};$$
- $$g_8 : \{(a_2, (m_z, x, y)) (a_0, (m_z, x, y-1)) (a_1, (m_2, x, y))\} * \{(a_1, (m_4, x, y))\} \rightarrow \{(a_0, (m_z, x, y)) (a_2, (m_z, x, y-1)) (a_0, (m_2, x, y))\};$$
- $$g_9 : \{(a_1, (m_z, x, y))\} * \{(a_0, (m_4, x, y)) (a_2, (m_z, x, y-1))\} \rightarrow \{(a_0, (m_z, x, y))\};$$
- $$g_{10} : \{(a_1, (m_z, x, y))\} * \{(a_0, (m_4, x, y)) (a_2, (m_z, x, y-1))\} \rightarrow \{(a_0, (m_z, x, y))\}.$$

Регистрация неприменимости:

- $$g_{11} : \{(a_2, (m_z, 1, 1))\} * \{(a_0, (m_2, 1, 1))\} \rightarrow \{(a_0, (m_z, 1, 1))\};$$
- $$g_{12} : \{(a_2, (m_z, 1, 1)) (a_1, (m_2, 1, 1))\} * \rightarrow \{(a_0, (m_z, 1, 1)) (a_0, (m_2, 1, 1))\};$$
- $$g_{13} : \{(a_1, (m_z, 1, 1)) (a_1, (m_2, 1, 1))\} * \rightarrow \{(a_0, (m_z, 1, 1)) (a_0, (m_2, 1, 1))\};$$
- $$g_{14} : \{(a_1, (m_z, 1, 1)) (a_0, m_3) (a_0, m_2)\} * \{(a_0, (m_2, 1, 1))\} \rightarrow \{(a_0, (m_z, 1, 1)) (a_0, m_3) (a_1, m_2)\}.$$

Система микрокоманд g_1-g_{14} сделана непротиворечивой при помощи клеток с именами (m_4, x, y) . Состояние этих клеток изменяет микрокоманды

$$\{(a_0, (m_4, x, y))\} * \{(a_1, (m_1, x, y))\} \rightarrow \{(a_1, (m_4, x, y))\};$$

$$\{(a_1, (m_4, x, y))\} * \{(a_1, (m_1, x, y))\} \rightarrow \{(a_0, (m_4, x, y))\}.$$

И, наконец, после прихода всех клеток множества W_1 в состояние a_0 , необходимо вернуть в исходное состояние клетки множеств W_4, W_z и клетку m_3 . Это делают микрокоманды:

$$\begin{aligned}
 & \{(a_1, (m_4, x, y))\} * \{(a_0, (m_1, x, y))\} \rightarrow \{(a_0, (m_4, x, y))\}; \\
 & \{(a_1, m_B)\} * \{(a_0, (m_1, x_k, y_k))\} \rightarrow \{(a_0, m_B)\}, \quad i = 1, \dots, r; \\
 & \{(a_1, (m_z, x, y))\} * \{(a_0, (m_1, x, y))\} \rightarrow \{(a_0, (m_z, x, y))\}.
 \end{aligned}$$

Теперь можно подсчитать как общее число микрокоманд в микропрограмме, так и число итераций, которое выполняет микропрограмма. Они соответственно равны $2(v + w + r + 1)$ и $6t + r + 2$.

Последнее, что нам следует сделать, это убедиться в том, что при построении Φ^A использованы только локальные конфигурации. Расположим клетки m_1, m_2, m_3, m_4 в одном столбце с клетками, имеющими координаты $x = I$, $y = I$, а клетку m_B — с клетками, имеющими координаты $x = x_k$, $y = y_k$. Непосредственная проверка показывает, что все возможные связи между клетками вдоль оси v , порожденные конфигурациями, которые использованы при построении Φ^A , исчерпываются показанными на рис. 7, т.е. действительно конфигурации локальны.

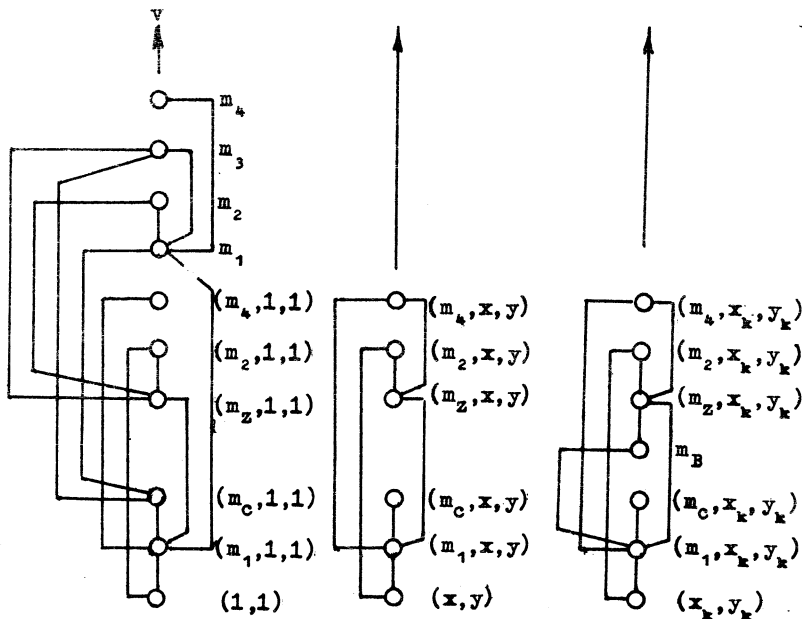


Рис. 7

3. Сложность канонических форм. Сведем в единую таблицу характеристики сложности канонических форм микропрограмм, полученные выше.

Таблица

Тип	Сложность	
	микропрограммная (Q)	временная (T)
Φ	$Q = v$	$T = \tau$
Φ'	$Q = v + 3$	$T = 2\tau + 2$
Φ^*	$Q = 2v + 3$	$T = \tau + 2$
Φ^0	$Q = 2v + 15$	$T = \tau + 3h + 3$
Φ^A	$Q = 2(v + \omega + r + 11)$	$T = \tau + 6f + 2$

Причем в качестве одного из вариантов канонической формы будем рассматривать также Φ' . Обозначения в таблице те же, что и ранее: v - число микрокоманд в исходной микропрограмме; τ - число итераций, затраченное на исполнение исходной микропрограммы; h - число

ярусов в бинарном дереве, ω - число правил смены состояний автомата в алгоритме синхронизации цепи стрелков; r - радиус окрестности клетки в исходном W ; f - линейный размер, характеризующий W .

Заключение

Оценки сложности канонических форм получены при самых общих предположениях о механизмах пуска-останова микропрограмм, включаемых в композицию. При практической разработке микропрограмм часто можно не прибегать к общим каноническим формам, а, используя содержательный смысл микропрограмм, получать частные варианты канонических форм. В таких случаях полученные здесь оценки могут играть роль ориентиров, позволяющих определить целесообразность перехода к частному варианту и оценить его качество.

Литература

1. БАНДМАН О.Л., ПИСКУНОВ С.В., СЕРГЕЕВ С.Н. Синтез параллельных микропрограммных структур. - Кибернетика, 1981, № 5, с. 48-54.
2. ЕВРЕИНОВ Э.В., КОСАРЕВ Ю.Г. Однородные универсальные системы высокой производительности. - Новосибирск: Наука, 1966. - 308 с.
3. Однородные структуры. Анализ. Синтез. Поведение /Варшавский В.И., Мараховский В.Б., Песчанский В.А., Розенблум Л.Я. - М.: Энергия, 1973. - 150 с.

4. CORDON D., KOREN I., SILBERMAN G.M. Embeding tree structures in VLSI hexagonal arrays. - IEEE Transaction on Computers, 1984, v.C-33, N 1, p.104-107.
5. HOROWITZ, ZORAT A. The binary tree as an interconnection network: Application to multiprocessor systems and VLSI. - IEEE Transaction on Computers, 1981, v.C-30, N 4, p.247-253.
6. GRASSELLI A. Synchronization of cellular array: The firing squad problem in two dimentions.- Information and Control, 1975, v.28, p.113-124.

Поступила в ред.-изд.отд.
28 сентября 1984 года